

**Bergvesenet**

Postboks 3021, 7002 Trondheim

**BV 2076**

**Rapportarkivet**

Bergvesenet rapport nr <b>BV 2076</b>	Intern Journal nr	Internt arkiv nr	Rapport lokalisering	Gradering <b>Fortrolig</b>
Kommer fra ..arkiv Sulitjelma Bergverk A/S	Ekstern rapport nr "542111001"	Oversendt fra	Fortrolig pga	Fortrolig fra dato:

Tittel

Elektrisk undersøkelse ved Jakobsbakken og Sagmo gruver. EM. Måling.

Forfatter

WELDE H.

Dato

1939

Bedrift

Sulitjelma Gruber A/S

Kommune

Fylke

Bergdistrikt

1: 50 000 kartblad

1: 250 000 kartblad

Fagområde

Dokument type

Forekomster

Råstofftype

Erneord

Sammendrag

Området Jakobsbakken - Sagmo ble undersøkt med elektromagnetiske og elektriske metoder med tanke på å kartlegge fortsettelsen av disse forekomstene. De elektromagnetiske metodene er ikke anvendbare pga. grunne soner som skjerner mot dypere undersøkelser. EM. Måling.

INNLEDNING.

Denne rapport meddeler resultater av elektriske undersøkelser utført for A/S SULITJELMA GRUBER over felter ved JAKOBSBAKKEN og SAGMO GRUBER, SULITJELMA. De undersøkte områder fremgår av oversiktskart, nr.1, og kartskisser for de enkelte felter, nr.2-7. Undersøkelsesfeltene strekker sig i en bredde av 1,2 km langs de malmførende soners utgående fra SAGMO GRUBER i nord, inntil 1,7 km syd for ANNA GRUBE, ialt i en lengde av ca. 6 km.

Målingene blev utført i tiden 15.mai - 8.september 1939, ved bergingeniørerne H.Welde (fra Geofysisk Malmleting) og A.Hofseth (fra oppdragsgiveren).

### Opgave.

Det var stillet som oppgave om mulig å påvise eventuell fortsettelse og retning av de kjente forekomster innen undersøkelsesområdet, spesielt de to hovedforekomster: JAKOBS-BAKKEN og SAGMO GRUBER. Samtidig skulde undersøkes om der foreligger hittil ukjente forekomster.

### Geologi.

Efter overingeniør Carlsons undersøkelser<sup>x)</sup> er Sulitjelmafeltet oppbygget av en mektig serie kvarts-glimmer-skifre, som danner en stor antiklinal over Langvannsdalen. Disse glimmerakifre er gjennomsatt av intrusiver av natrongranitt og store masser av gabbroidale bergarter, som for størstedelen er omvandlet til skifrige amfiboliter, kloritiske skifre og klorit-amfibolit-breccier.

De kjente forekomster av svovelkis-kobberkis opptrer dels inne i den omvandlede gabbrosone, dels på kontakten mot den underliggende skifer, og dels et kort stykke ned i skiferen. De sistnevnte forekomster er de betydeligste.

Malmene er -- likesom intrusivbergartene -- innleiret parallelt med skifriheten, men i detalj kan ofte apofyser og overakjæringer iakttas. De malmer som hittil har vært gjenstand for drift, har vist utpreget linealform. De synes å ha varierende draging i felt.

### Topografi.

Det undersøkte område gjennemsattes av en ca. 100 m høi N-S-gående diskontinuitet i terrenget. Dette vanskeliggjorde i flere henseender målingene. De Ø-V-gående kabel-linjer måtte unngåelig få sterke avvikelser fra et rettlinjet forløp. Målingene blev samtidig sinket, idet passasje mellom den østlige og den vestlige del av området var vanskelig. Særlig virket terrenget hindrende på vinterføre. Såvel øst som vest for styrtingen var terrenget gjennomgående bekvemt for målingene.

x) S.Foslie: Norges Svovelkisforekomster.

Kabellinjer og målelinjer blev utstukket med kompass og målebånd. Som basis for stikningen tjente taugbanens midtlinje mellem JAKOBSBAKKEN og SAGMO. Denne linje har retning m.N ca.  $16^{\circ}$  Ø. Dens skjæringspunkt med nordre yttervegg av taugbanestasjonen på JAKOBSBAKKEN blev gitt koordinat 215 V, 12000 N. Koordinatene stiger henholdsvis mot vest og nord, og angir avstander i meter.

Til støtte for utstikningsarbeidet i den sydlige og den vestlige del av undersøkelsesområdet blev der lagt to åpne polygondrag med teodolit og målebånd: det ene i basislinjens forlengelse sydover til omtrent 10000 S; det annet loddrett på denne linje ved ca. 11500 N inntil 1300 V. Herfra er polygondraget ført videre langs linje 1300 V, parallell basis, inntil ca. 13800 N.

Over de undersøkte områder er tegnet kart i målestokk 1:20000 med angivelse av kabellinjer, elektrodestillinger, samt topografiske data efter Verkets dagkart i samme målestokk. Dessuten er tegnet kart over de enkelte målefelter i målestokk 1:2500 med angivelse av kabellinjer, målelinjer og observerte indikasjoner, samt topografiske data efter Verkets dagkart i denne målestokk.

#### Undersøkelsesbetingelser.

Ifølge tidligere utførte motstandsmålinger, foretatt av ing. Hofseth, er de hittil kjente malmtyper i området godt elektrisk ledende, og de plateformete eller linealformete malmer skulde by egnede betingelser for anvendelse av elektromagnetiske målemetoder. Slike målinger blev derfor anvendt.

Under målingene blev det etterhvert klart at der over den egentlige malmførende horisont optrer en rekke mineraliserte soner, både i forbindelse med klorit-amfibolitbreccien, granitten og helt op i den overliggende glimmer-skifer. Mineralisasjonene er visstnok forholdsvis ubetydelige, men de har såvidt god ledningsevne, at de gir tildels meget sterke indikasjoner. Dette forhold virker uheldig på målingene, idet tydingen av observasjonene vanskeliggjøres, og man må



regne med at effekter fra gruntliggende soner uten verdi kan skjule effekter fra dypereliggende mektigere mineralisasjoner. Særlig tør dette gjelde den egentlige malmførende horisont, som ligger underst.

#### Målemetoder.

Den største del av undersøkelsene blev utført ved elektromagnetisk induktive målinger. I noen punkter blev der foretatt elektromagnetisk konduktive målinger og orienterende motstandsmålinger.

Ved den elektromagnetisk induktive metode energiseres undergrunnen ved at den primære vekselstrøm sendes gjennom en isolert, rektangulær kabelsløife. Ved den elektromagnetisk konduktive metode skjer strømtilførselen til undergrunnen gjennom en lang isolert, rettlinjert kabel, jordet ved elektroder i begge ender. Ved begge disse metoder vil kabelstrømmens elektromagnetiske felt indusere sekundære strømmer i de ledende soner i undergrunnen. Ved den konduktive metode skjer også en viss konsentrasjon av primærstrømmen i sonene. Strømkonsentrasjonene i de ledende soner bevirker avvikelser fra det elektromagnetiske felts normale forløp. Gjennom undersøkelse av det elektromagnetiske felt kan man påvise tilstedeværelsen av ledende soner, og fastlegge deres beliggenhet og utstrekning. Undersøkelsen av det elektromagnetiske felt foretas langs utstukne, rette linjer, ialmindelighet tvers på de formodete strømbaner. Avstanden mellom målepunktene er normalt 25 m, ved mere detaljerte målinger det halve, og over utgåender ned til få meter. Den innbyrdes avstand mellom målelinjene kan efter omstendighetene være fra 25 m op til et par hundre meter.

Ved de elektromagnetiske målinger blev der anvendt 2 instrumenttyper: G.M's Komponentbro med Dobbelramme for relativmåling av det elektromagnetiske felts reelle og imaginære komponenter i vertikal og i horisontal retning, samt G.M's Vinkelbro for måling av den vertikale feltkomponents relative styrke og fase. Disse instrumenter har stor følsomhet og måleansiaktighet, og tillater å foreta en fullstendig kartlegning av det elektromagnetiske felts variasjon.

De orienterende motstandsmålinger blev foretatt efter Wenner's metode. Ved måling med ekspanderende, symmetrisk elektrodesystem, bestemmes den tilsynelatende spesifikke motstands variasjon med dybden i partiet under elektrodesystemets midtpunkt. Målingene blev gjort med periodisk reversert likestrøm. Der blev anvendt et megger-instrument med kompensasjonsmålekrets.

#### Arbejdsordning, arbeidets forløp.

Der blev arbeidet med et hjelpemannskap på 13 mann, altså tilsammen 15 mann, ingeniørene medregnet. Arbeidsstokken fordeltes slik på de forskjellige opgaver: til målingene, 2 lag på hver 3 medhjelpere og 1 observatør; til stikning, 1 lag på 4 mann; til kontor- og beregningsarbeide, 2 mann; til motorpass, etc., 1 mann.

Arbeidet blev begynt ca. 15. mai og avsluttet 8. september. I den første tid blev arbeidet sterkt hindret av vær- og føreforhold. Under de vanskelige terrengforhold gikk målingene på vinterføre langsomt. Senere forløp undersøkelserne stort sett tilfredsstillende. Dog tør man bemerke at de disponible hjelpemannskaper ikke alltid viste den aktivitet som er nødvendig for opnåelse av en tilfredsstillende målehurtighet. Det er mulig at en annen ordning med hensyn på deres engasjement kunde gi bedre resultater. Når der skal foretas videre undersøkelser, skal vi komme tilbake til dette spørsmål.

#### Undersøkelsenes utførelse.

For å kunne foreta undersøkelser med hensyn på de dypereliggende partier av malmene, var det nødvendig først å ha oversikt over effektene fra de grunnereliggende mineralisasjoner i området. Undersøkelsen blev derfor i første omgang anlagt slik at man skulde få full klarhet over dette punkt.

Undersøkelsen blev begynt med induktive målinger i felt III, og derefter i feltene II, I, IV, V og VI. Samtlige kabelsløifer hadde utstrekning 1200 x 1200 m.

I den østlige del av de enkelte undersøkelsesfelter blev målelinjene lagt loddrett på basislinjen for å få undersøkt de malmførende soners utgåender. Disse målelinjer blev som regel lagt i innbyrdes avstand 50 m, med målepunkt-avstand 12,5 m, og ned til få meter. I den vestlige del av feltene blev målelinjene lagt parallell basis for eventuelt å kunne observere effekter fra strømkonsentrasjoner i malmaksenes retning. Disse målelinjer er som regel lagt i innbyrdes avstand 100 m, og med målepunkt-avstand ialmindelighet 25 m.

Da der foruten de kjente malmsoners utgåender blev observert indikasjoner på en rekke høiereliggende og meget utstrakte, ledende soner, som tildels gir sterke indikasjoner, var betingelsene for undersøkelse av de dyptliggende malmer særdeles ugunstige. De gav ingen tydelige indikasjoner i de utførte elektromagnetisk induktive målinger, og man blev klar over at heller ikke andre elektromagnetiske metoder under de foreliggende omstendigheter vilde ha større utsikter til å gi sikre resultater. Dybden ned til malmen vil i disse områder være ca. 300-400 m, hvilket selv under gunstigste forhold vil være meget for anvendelse av elektromagnetiske metoder. I dette tilfelle virker de grunnereliggende, ledende soner skjermende, og hindrer vekselstrømmenes inntrengen mot dypet.

Da elektromagnetisk konduktive målinger ialmindelighet har større dybderækkevidde enn elektromagnetisk induktive målinger, blev der over SAGMO og JAKOBSBAKKEN GRUBER gjort forsøk med konduktive målinger. Målingene blev foretatt i feltene VII og VIII (kart nr. 1) inne på platået over grubenes fortsettelse mot dypet. Terrengforholdene er her mindre forstyrrende enn lenger syd, slik at relativt nøiaktige målinger kunde gjøres. Kabellinjer av ca. 3 km lengde blev lagt ut parallelt med malmaksene, idet den ene elektrode blev plasert i kompakt malm i grubene. Målingene blev foretatt langs rette linjer tvers over kablen. Over begge gruber blev gjort målinger med flere parallelle kabelutlegg. Forsøkene viste at heller ikke konduktive målinger gir tydelige indikasjoner på hovedmalmen.

Likestrømsmålinger er ikke underkastet tilsvarende dybdebegrensninger som vekselstrømsmetoder. Der kunde således være muligheter for at likestrømsmetoder vilde være mere effektive med hensyn på den foreliggende opgave. Man fant derfor å burde gjøre et forsøk med likestrøms motstandsmålinger.

Der blev gjort forsøk med vertikal motstandsmåling over SAGMO GRUBE på 3 linjer, parallelt den antatte retning av malmsksen: profil 4300 N, 4600 N og 4900 N. Elektrode-midtpunktet lå i hvert tilfelle på 1850 V, slik at de målte vertikale motstandsprofiler refererer sig til punktene: 4300 N, 1850 V; 4600 N, 1850 V, 4900 N, 1850 V. De fundne motstandskurver, kart nr. 8, gir et interessant billede. Målingene på linje 4600 N, som ligger nær det store sprekk-system, til hvilken hovedmalmen antas å være knyttet, viser betydelig lavere motstandsverdier enn målingene nordenfor og sønnenfor. Høiest motstand viser profil 4300 N, som må antas å falle helt sønnenfor malmen.

Motstandsmålinger blev foretatt under avslutningen av undersøkelsene, mens overflytning til Bossmo blev forberedt. Da der ikke var mere tid til disposisjon, måtte de interessante forsøk avbrytes, uten å være gjennomført med den ønskelige fullstendighet.

### Resultater.

1) Påvisning av mineraliserte soner. De elektromagnetiske målinger har i hele undersøkelsesfeltets utstrekning gitt indikasjoner på utgåender av de tidligere kjente malmførende soner. Ved siden herav er konstatert en rekke parallellløpende, ledende soner av stor lengdeutstrekning. Mineraliseringen i disse soner synes efter strømføringen å dømme, å være relativt jevn, og må antas å være mindre betydelig, da sonene på flere steder er gjennomboret ved tidligere foretatte diamantboringer, uten at der er rapportert mineralisasjoner av betydning. På et par steder i disse soner årder observert indikasjoner som kan tyde på sterkere mineralisasjon, således i felt IV fra ordinat 9900 N og sydover. Her kjennes fra før et par skjerp, som ligger på utgående av påvist ledende sone.

Videre har man i den sydlige del av felt II observert indikasjoner på et par avgrensede, bedre ledende partier. Det foreligger her to mineraliserte horisonter over hverandre. Hvorvidt malmføringen på disse steder kan være av interesse, vil eventuelt måtte konstateres ved avdekning eller boring. Det tør påpekes at målingene ikke tillater å avgjøre hvorvidt en sterkere mineralisasjon i disse tilfeller foreligger i de øvrige soner, eller om den også utatrekker sig til de dypere liggende og egentlig malmførende soner.

De observerte indikasjoner på ledende soner er fremstillet i rapportkartene, nr. 2-7. Indikasjonene er anvist ved følgende tegn: ————— meget sterk, ——— sterk, ..... svak, . . . . . meget svak. I noen tilfeller er ledende partier fremhevet ved skraffur.

De observerte indikasjoner er sammenstillet i tabell I. Foruten indikasjonenes beliggenhet og relative styrke, antydes også strømkonsentrasjonenes dybder, delvis med tallangivelse. Det understrekes at disse dybdeangivelser må meddeles med alt forbehold, da de ofte vil være usikre. Man tør dog ialmindelighet regne med at størrelsesordenen av angitte dybder vil være riktig.

2) Undersøkelse av hovedmalmene. Med hensyn på den annen oppgave, undersøkelse av hovedmalmenes fortsettelse mot dypet, har de foretatte elektromagnetiske målinger ikke kunnet gi noe bidrag.

Resultatet av de orienterende motstandsmålinger over SAGMO GRUBE kan stemme overens med den oppfatning av malmens videre forløp som man er kommet til under driften. De foretatte målinger er imidlertid for ufullstendige, og kan ikke tjene som basis for sikre slutninger med hensyn på det problem som her skulde undersøkes.

På den annen side tyder de utførte målinger på at systematiske motstandsmålinger kanskje vilde ha muligheter for å kunne bidra til klarleggelse av disse og tilsvarende problemer i dette område. Den observerte lavere, spesifikke motstand i partiet over SAGMO-malmens antatte fortsettelse,

kan enten hitrøre fra den sterkere mineralisasjon i dette parti, eller den kan skyldes den tidligere kjente, sterkere opsprek-ning av fjellet over hovedmalmen. Ifall den formodning skulde ha almindelig gyldighet for dette område, at sterkere minera-lisasjoner er knyttet <sup>til</sup> større, relativt steiltstående sprekk-systemer, eller breccierte soner, så tør dette åpne muligheter for indirekte påvisning av mineralisasjoner gjennom påvisning av opsprukne soner ved deres lavere spesifikke motstand.

Hvis videre forsøk skulde bekrefte at motstandsmålinger er anvendbare for dette formål, turde det være mulig ved kom-binasjon av motstandsmålinger og dypboringer å foreta syste-matisk dyp-prospektering over hele den store malmførende synklinal, syd for Langvann.

#### Konklusjoner.

De foretatte undersøkelser viser at man ved elektro-magnetiske målinger kan utføre en detaljert kartlegning av de ledende soners utgåender, samt få en orientering om mineralisa-sjonen innen de grunnereliggende partier av sonene.

Ved en fortsatt kartlegning av de malmførende hori-sonters utgåender, vil det antagelig være hensiktsmessig å innskrenke undersøkelsesfeltets bredde, f. eks. til det halve. Ved samtidig omlegning av arbeidsmåter vil en stor økning i målehurtighet være opnåelig. Det antas at man ved et mere lang-varig oppdrag vil kunne grundig rekognosere 6 a 8 km sonelengde pr. måned.

På grunn av de utstrakte, gruntliggende soner, er elektromagnetiske metoder ikke anvendbare for undersøkelse av dypereliggende malmer i dette område.

Det tilrådes at der foretas videre forsøk til klar-leggelse av motstandsmetoders anvendbarhet for dette formål. En relativt uttømmende undersøkelse av spørsmålet antas å kunne gjennomføres i løpet av et par ukers tid, med et hjelpemannskap på 8-10 mann.

Trondheim 25. juni 1940.

H. Welde.

*H. Welde.*

H. Brækken.

*H Brækken*

Tabell 2. Observerte indikasjoner. (Kart nr.2)

Profil	Stasjon	Styrke	Dybde	Profil	Stasjon	Styrke	Dybde	
10100 N	61 V	m.sv.	gr.	10450 N	293 V	sv.	gr.	
	129 V	sv.	m.gr.		318 V	m.sv.	gr.	
	141 V	sv.	m.gr.		373 V	m.sv.	gr.	
	10150 N	189 V	m.sv.	gr.	10500 N	222 V	sv.	m.gr.
		263 V	m.sv.	gr.		232 V	sv.	m.gr.
		271 V	m.sv.	gr.		237 V	sv.	m.gr.
53 V		m.sv.	gr.	280 V		sv.	gr.	
70 V		m.sv.	gr.	198 V		m.sv.	m.gr.	
128 V		m.sv.	gr.	348 V		m.sv.	gr.	
10200 N	142 V	m.sv.	gr.	10550 N	386 V	m.sv.	gr.	
	186 V	m.sv.	gr.		237 V	sv.	m.gr.	
	295 V	m.sv.	gr.		250 V	sv.	m.gr.	
	306 V	m.sv.	gr.		265 V	sv.	ca. 6m	
	127 V	sv.	ca. 4m		313 V	m.sv.	m.gr.	
	144 V	sv.	ca. 4m		329 V	sv.	m.gr.	
10250 N	177 V	m.sv.	gr.	10600 N	377 V	m.sv.	m.gr.	
	287 V	sv.	m.gr.		214 V	sv.	m.gr.	
	298 V	sv.	m.gr.		227 V	sv.	ca. 5m	
	398 V	m.sv.	gr.		280 V	sv.	m.gr.	
	104 V	m.sv.	m.gr.		290 V	sv.	m.gr.	
	121 V	sv.	ca. 4m		303 V	sv.	m.gr.	
10300 N	129 V	sv.	ca. 4m	10650 N	326 V	sv.	m.gr.	
	171 V	sv.	gr.		335 V	sv.	m.gr.	
	263 V	sv.	ca. 4m		350 V	m.sv.	gr.	
	285 V	sv.	gr.		394 V	m.sv.	gr.	
	129 V	m.sv.	m.gr.		213 V	sv.	ca. 4m	
	141 V	sv.	ca. 4m		222 V	sv.	ca. 4m	
10350 N	153 V	sv.	m.gr.	10700 N	282 V	st.	m.gr.	
	182 V	m.sv.	gr.		292 V	st.	gr.	
	210 V	m.sv.	gr.		307 V	st.	ca. 3m	
	254 V	m.sv.	gr.		322 V	sv.	gr.	
	279 V	m.sv.	m.gr.		358 V	m.sv.	m.gr.	
	287 V	sv.	ca. 4m		399 V	m.sv.	gr.	
10400 N	349 V	m.sv.	gr.	10750 N	206 V	sv.	m.gr.	
	117 V	m.sv.	gr.		213 V	sv.	m.gr.	
	125 V	m.sv.	gr.		289 V	st.	m.gr.	
	143 V	m.sv.	m.gr.		296 V	sv.	m.gr.	
	150 V	sv.	gr.		305 V	sv.	m.gr.	
	159 V	sv.	m.gr.		330 V	sv.	gr.	
10450 N	170 V	m.sv.	gr.	10800 N	387 V	m.sv.	gr.	
	187 V	m.sv.	m.gr.		223 V	sv.	m.gr.	
	185 V	m.sv.	gr.		232 V	sv.	gr.	
	357 V	m.sv.	gr.		256 V	sv.	gr.	
	167 V	sv.	m.gr.		294 V	st.	ca. 4m	
	179 V	sv.	ca. 3m		300 V	sv.	m.gr.	
10450 N	189 V	sv.	ca. 3m	10800 N	306 V	sv.	m.gr.	
	221 V	sv.	gr.		318 V	sv.	m.gr.	
	238 V	sv.	gr.		339 V	sv.	gr.	
	265 V	sv.	gr.		356 V	sv.	m.gr.	
	362 V	m.sv.	gr.		370 V	m.sv.	gr.	
	204 V	sv.	m.gr.		390 V	m.sv.	gr.	
10450 N	216 V	sv.	ca. 5m	237 V	sv.	ca. 3m		
	231 V	sv.	ca. 5m	249 V	sv.	ca. 3m		
	259 V	sv.	gr.	261 V	m.sv.	gr.		

Tabell 2. forts.

Profil	Stasjon	Styrke	Dybde	Profil	Stasjon	Styrke	Dybde	
10800 N	287 V	sv.	m.gr.	10950 N	319 V	sv.	m.gr.	
	294 V	sv.	m.gr.		337 V	m.sv.	ca. 3m	
	304 V	sv.	gr.		397 V	m.sv.	gr.	
	318 V	sv.	m.gr.		457 V	m.sv.	gr.	
	331 V	m.sv.	m.gr.		197 V	m.sv.	m.gr.	
	347 V	m.sv.	m.gr.		11000 N	217 V	st.	m.gr.
	366 V	m.sv.	m.gr.			233 V	sv.	m.gr.
	400 V	m.sv.	m.gr.			244 V	sv.	gr.
435 V	m.sv.	gr.	159 V	sv.		gr.		
10850 N	203 V	m.sv.	m.gr.	282 V		sv.	gr.	
	220 V	sv.	ca. 5m	307 V		m.sv.	gr.	
	239 V	m.sv.	m.gr.	319 V		m.sv.	gr.	
	252 V	sv.	m.gr.	339 V		m.sv.	gr.	
	280 V	sv.	m.gr.	369 V	m.sv.	gr.		
	288 V	sv.	m.gr.	414 V	m.sv.	gr.		
	303 V	sv.	gr.	11050 N	187 V	sv.	m.gr.	
	325 V	sv.	gr.		196 V	sv.	m.gr.	
347 V	m.sv.	gr.	203 V		sv.	m.gr.		
382 V	m.sv.	gr.	233 V		sv.	m.gr.		
413 V	sv.	gr.	257 V		m.sv.	m.gr.		
10900 N	192 V	m.sv.	m.gr.		280 V	sv.	m.gr.	
	203 V	sv.	ca. 12m		354 V	m.sv.	gr.	
	272 V	sv.	ca. 4m		374 V	m.sv.	gr.	
	288 V	st.	m.gr.	422 V	m.sv.	gr.		
	296 V	st.	gr.	11100 N	190 V	st.	ca. 3m	
	309 V	sv.	gr.		197 V	sv.	gr.	
	342 V	m.sv.	gr.		217 V	sv.	gr.	
	408 V	m.sv.	gr.		270 V	sv.	gr.	
10950 N	194 V	m.sv.	gr.		325 V	sv.	gr.	
	207 V	sv.	gr.		348 V	m.sv.	gr.	
	274 V	st.	m.gr.		426 V	m.sv.	gr.	
	285 V	sv.	m.gr.		462 V	m.sv.	gr.	
	302 V	sv.	gr.					



Tabell 3. Observerte indikasjoner. (Kart nr.3)

Profil	Stasjon	Styrke	Dybde	Profil	Stasjon	Styrke	Dybde
11150 N	168 V	m.sv.	gr.	11600 N	190 V	m.sv.	gr.
	180 V	sv.	m.gr.		240 V	st.	ca.4m
	197 V	st.	m.gr.		253 V	st.	ca.4m
	230 V	st.	gr.		272 V	m.sv.	m.gr.
	247 V	m.sv.	gr.		298 V	m.sv.	m.gr.
	264 V	m.sv.	gr.		407 V	st.	gr.
	375 V	m.sv.	gr.		433 V	sv.	gr.
11200 N	205 V	m.sv.	gr.	11650 N	492 V	m.sv.	gr.
	246 V	sv.	m.gr.		185 V	m.sv.	gr.
	258 V	sv.	m.gr.		237 V	sv.	m.gr.
	345 V	sv.	gr.		250 V	sv.	m.gr.
	360 V	sv.	gr.		306 V	m.sv.	gr.
11250 N	391 V	m.sv.	gr.	340 V	sv.	gr.	
	193 V	m.sv.	gr.	400 V	sv.	gr.	
	216 V	m.sv.	gr.	423 V	m.sv.	gr.	
	265 V	sv.	m.gr.	437 V	m.sv.	gr.	
	300 V	m.sv.	gr.	11700 N	180 V	m.sv.	gr.
	331 V	m.sv.	gr.		239 V	st.	m.gr.
	351 V	sv.	m.gr.		253 V	st.	ca.5m
11300 N	503 V	m.sv.	gr.	297 V	m.sv.	gr.	
	280 V	m.sv.	gr.	343 V	sv.	gr.	
	386 V	m.sv.	gr.	371 V	sv.	gr.	
	437 V	m.sv.	gr.	385 V	sv.	gr.	
11350 N	503 V	m.sv.	gr.	419 V	sv.	gr.	
	328 V	sv.	ca.4m	11750 N	180 V	m.sv.	gr.
	361 V	sv.	gr.		237 V	st.	ca.5m
390 V	m.sv.	m.gr.	254 V		sv.	m.gr.	
11400 N	512 V	m.sv.	gr.	290 V	m.sv.	m.gr.	
	290 V	m.sv.	gr.	310 V	m.sv.	m.gr.	
	315 V	m.sv.	m.gr.	350 V	st.	gr.	
	334 V	m.sv.	m.gr.	366 V	m.sv.	gr.	
	369 V	st.	m.gr.	410 V	m.sv.	gr.	
	377 V	st.	m.gr.	430 V	m.sv.	gr.	
11450 N	405 V	m.sv.	gr.	11800 N	187 V	m.sv.	gr.
	288 V	sv.	m.gr.		242 V	st.	gr.
	308 V	sv.	m.gr.		263 V	sv.	gr.
	348 V	m.sv.	m.gr.		297 V	sv.	gr.
	353 V	m.sv.	ca.4m		314 V	sv.	ca.4m
	366 V	sv.	ca.5m		327 V	st.	ca.4m
	412 V	m.sv.	gr.		345 V	st.	gr.
11500 N	537 V	m.sv.	gr.	392 V	m.sv.	gr.	
	281 V	sv.	m.gr.	426 V	m.sv.	gr.	
	300 V	sv.	m.gr.	488 V	m.sv.	gr.	
	378 V	sv.	gr.	641 V	m.sv.	gr.	
	388 V	sv.	gr.	11850 N	195 V	m.sv.	gr.
	408 V	sv.	m.gr.		257 V	m.sv.	gr.
556 V	m.sv.	gr.	290 V		m.sv.	m.gr.	
11550 N	253 V	st.	ca.8m	307 V	st.	m.gr.	
	275 V	st.	m.gr.	342 V	st.	m.gr.	
	292 V	m.sv.	m.gr.	366 V	sv.	gr.	
	335 V	m.sv.	m.gr.	394 V	m.sv.	gr.	
	412 V	sv.	m.gr.	420 V	m.sv.	gr.	
	441 V	sv.	m.gr.	11900 N	108 V	m.sv.	ca.4m
	556 V	m.sv.	gr.		262 V	m.sv.	ca.5m

Tabell 3. Forts.

Profil	Stasjon	Styrke	Dybde	Profil	Stasjon	Styrke	Dybde
11900 N	297 V	m.sv.	gr.	12000 N	420 V	m.sv.	gr.
	330 V	sv.	gr.		445 V	m.sv.	gr.
	344 V	m.sv.	m.gr.		552 V	m.sv.	gr.
	365 V	st.	gr.		638 V	m.sv.	gr.
	397 V	m.sv.	gr.	12100 N	325 V	st.	m.gr.
	421 V	m.sv.	gr.		357 V	sv.	m.gr.
	518 V	m.sv.	gr.		380 V	st.	m.gr.
666 V	m.sv.	gr.	394 V		m.sv.	m.gr.	
11950 N	292 V	m.sv.	m.gr.		447 V	m.sv.	gr.
	337 V	st.	gr.		488 V	m.sv.	gr.
	353 V	st.	gr.		511 V	m.sv.	gr.
	375 V	sv.	m.gr.	635 V	m.sv.	gr.	
	398 V	m.sv.	ca. 4m	<hr/>			
	443 V	m.sv.	gr.	300 V	11215 N	st.	ca. 4m
	535 V	m.sv.	gr.		11227 N	st.	ca. 4m
12000 N	313 V	m.sv.	ca. 5m		11249 N	m.sv.	m.gr.
	344 V	st.	gr.				
	355 V	sv.	gr.				
	379 V	sv.	m.gr.				
	398 V	m.sv.	gr.				

Tabell 4. Observerte indikasjoner. (Kart nr.4)

Profil	Stasjon	Styrke	Dybde	Profil	Stasjon	Styrke	Dybde
12150 N	313 V	st.	m.gr.	42500	444 V	sv.	ca.5m
	344 V	sv.	m.gr.		475 V	sv.	m.gr.
	358 V	st.	m.gr.		550 V	sv.	ca.5m
	384 V	sv.	m.gr.		558 V	m.sv.	gr.
	418 V	m.sv.	m.gr.		712 V	m.sv.	gr.
	440 V	m.sv.	gr.		12550 N	348 V	st.
511 V	m.sv.	gr.	372 V	st.		m.gr.	
12200 N	313 V	st.	ca.8m	427 V		sv.	m.gr.
	360 V	sv.	m.gr.	462 V		sv.	m.gr.
	380 V	sv.	m.gr.	496 V		sv.	m.gr.
	398 V	sv.	m.gr.	540 V		sv.	gr.
	450 V	m.sv.	gr.	550 V	m.sv.	gr.	
	514 V	m.sv.	gr.	12600 N	710 V	m.sv.	gr.
673 V	m.sv.	gr.	346 V		st.	ca.3m	
12250 N	307 V	m.sv.	m.gr.		370 V	sv.	gr.
	327 V	st.	m.gr.		386 V	m.sv.	gr.
	345 V	sv.	m.gr.		407 V	m.sv.	gr.
	378 V	sv.	m.gr.		433 V	sv.	m.gr.
	397 V	sv.	m.gr.	441 V	sv.	m.gr.	
	420 V	sv.	m.gr.	470 V	m.sv.	m.gr.	
12300 N	553 V	m.sv.	gr.	497 V	m.sv.	m.gr.	
	687 V	m.sv.	gr.	533 V	sv.	gr.	
	340 V	st.	m.gr.	544 V	m.sv.	gr.	
	358 V	sv.	m.gr.	552 V	m.sv.	gr.	
	395 V	m.sv.	m.gr.	708 W	m.sv.	gr.	
	425 V	sv.	ca.4m	12650 N	335 V	st.	m.gr.
460 V	sv.	m.gr.	353 V		sv.	m.gr.	
588 V	m.sv.	gr.	370 V		m.sv.	m.gr.	
710 V	m.sv.	gr.	420 V		m.sv.	m.gr.	
12350 N	337 V	st.	m.gr.		435 V	sv.	m.gr.
	359 V	sv.	m.gr.		460 V	sv.	m.gr.
	388 V	m.sv.	m.gr.	497 V	m.sv.	m.gr.	
	423 V	m.sv.	m.gr.	530 V	sv.	gr.	
	460 V	m.sv.	m.gr.	540 V	m.sv.	gr.	
	578 V	m.sv.	gr.	12700 N	332 V	st.	m.gr.
723 V	m.sv.	gr.	345 V		sv.	m.gr.	
12400 N	331 V	st.	m.gr.		365 V	m.sv.	m.gr.
	345 V	m.sv.	m.gr.		397 V	m.sv.	gr.
	353 V	sv.	m.gr.		412 V	m.sv.	gr.
	378 V	m.sv.	m.gr.		437 V	sv.	ca.5m
	415 V	m.sv.	m.gr.	455 V	sv.	ca.5m	
	453 V	m.sv.	m.gr.	470 V	m.sv.	m.gr.	
12450 N	568 V	m.sv.	gr.	492 V	m.sv.	m.gr.	
	588 V	m.sv.	gr.	545 V	sv.	gr.	
	730 V	m.sv.	gr.	550 V	m.sv.	gr.	
	333 V	st.	m.gr.	12750 N	333 V	st.	m.gr.
	353 V	st.	m.gr.		347 V	sv.	m.gr.
	386 V	m.sv.	m.gr.		360 V	m.sv.	m.gr.
420 V	m.sv.	m.gr.	441 V		st.	m.gr.	
457 V	m.sv.	m.gr.	475 V		st.	m.gr.	
558 V	sv.	gr.	516 V		sv.	m.gr.	
12500 N	722 V	m.sv.	gr.	555 V	sv.	gr.	
	338 V	st.	ca.5m	12800 N	333 V	st.	ca.4m
	363 V	st.	gr.		347 V	st.	m.gr.
	408 V	m.sv.	m.gr.		357 V	m.sv.	m.gr.

Tabell 4. Forts.

Profil	Stasjon	Styrke	Dybde	Profil	Stasjon	Styrke	Dybde
12800 N	405 V	m.sv.	m.gr.	13000 N	330 V	st.	ca. 5m
	453 V	st.	m.gr.		349 V	sv.	m.gr.
	502 V	st.	m.gr.		367 V	m.sv.	m.gr.
	539 V	sv.	m.gr.		510 V	m.sv.	gr.
	588 V	m.sv.	gr.		540 V	st.	ca. 5m
	712 V	m.sv.	gr.		563 V	st.	ca. 5m
12850 N	334 V	st.	m.gr.	583 V	sv.	ca. 4m	
	347 V	st.	m.gr.	648 V	m.sv.	gr.	
	358 V	m.sv.	m.gr.	13050 N	335 V	st.	m.gr.
	480 V	sv.	m.gr.		348 V	sv.	m.gr.
	520 V	st.	m.gr.		366 V	m.sv.	m.gr.
	550 V	sv.	m.gr.		543 V	st.	m.gr.
12900 N	333 V	st.	ca. 4m		564 V	st.	m.gr.
	346 V	sv.	ca. 5m		582 V	sv.	m.gr.
	359 V	m.sv.	m.gr.	655 V	m.sv.	gr.	
	505 V	m.sv.	m.gr.	13100 N	321 V	m.sv.	m.gr.
	532 V	st.	m.gr.		339 V	st.	m.gr.
	563 V	m.sv.	m.gr.		348 V	st.	m.gr.
635 V	m.sv.	gr.	366 V		m.sv.	m.gr.	
680 V	m.sv.	gr.	540 V		m.sv.	ca. 4m	
809 V	m.sv.	gr.	560 V		st.	m.gr.	
12950 N	333 V	st.	m.gr.	570 V	m.sv.	m.gr.	
	347 V	sv.	m.gr.	620 V	m.sv.	gr.	
	362 V	m.sv.	m.gr.	653 V	sv.	gr.	
	527 V	st.	m.gr.	665 V	m.sv.	gr.	
	547 V	st.	m.gr.	765 V	m.sv.	gr.	
	575 V	sv.	m.gr.				

Tabell 5. Observerte indikasjoner. (Kart nr.5)

Profil	Stasjon	Styrke	Dybde	Profil	Stasjon	Styrke	Dybde	
9100 N	213 V	m.sv.	gr.	9600 N	87 V	m.sv.	gr.	
	262 V	m.sv.	gr.		233 V	m.sv.	gr.	
	300 V	m.sv.	gr.		252 V	m.sv.	gr.	
	327 V	sv.	m.gr.		267 V	sv.	m.gr.	
	337 V	sv.	m.gr.		282 V	st.	ca. 5m	
	347 V	sv.	m.gr.		294 V	m.sv.	m.gr.	
	375 V	m.sv.	gr.		310 V	sv.	m.gr.	
9200 N	207 V	m.sv.	gr.		342 V	m.sv.	gr.	
	301 V	m.sv.	gr.		362 V	m.sv.	gr.	
	322 V	st.	m.gr.		392 V	m.sv.	gr.	
	333 V	sv.	m.gr.		439 V	m.sv.	gr.	
9300 N	342 V	sv.	m.gr.		9700 N	230 V	m.sv.	gr.
	212 V	m.sv.	gr.			255 V	m.sv.	gr.
	280 V	m.sv.	gr.			270 V	st.	ca. 3m
	306 V	m.sv.	gr.	190 V		sv.	gr.	
	327 V	st.	m.gr.	310 V		m.sv.	gr.	
	335 V	sv.	m.gr.	351 V		m.sv.	gr.	
9400 N	362 V	m.sv.	gr.	9800 N		138 V	m.sv.	gr.
	87 V	m.sv.	gr.		178 V	sv.	m.gr.	
	236 V	m.sv.	gr.		200 V	sv.	m.gr.	
	279 V	m.sv.	gr.		217 V	st.	gr.	
	301 V	st.	m.gr.		267 V	m.sv.	gr.	
	313 V	st.	m.gr.		313 V	m.sv.	gr.	
	341 V	m.sv.	m.gr.		362 V	m.sv.	gr.	
9500 N	370 V	m.sv.	m.gr.	9900 N	206 V	sv.	ca. 6m	
	252 V	m.sv.	gr.		223 V	sv.	m.gr.	
	276 V	m.sv.	gr.		248 V	sv.	m.gr.	
	295 V	st.	ca. 4m	10000 N	88 V	m.sv.	gr.	
	312 V	sv.	ca. 3m		132 V	sv.	ca. 4m	
	334 V	m.sv.	gr.		150 V	sv.	ca. 3m	
			183 V		m.sv.	gr.		

Tabell 6. Observerte indikasjoner. (Kart nr.6)

Profil	Stasjon	Styrke	Dybde	Profil	Stasjon	Styrke	Dybde	
13150 N	310 V	m.sv.	gr.	13450 N	382 V	m.sv.	gr.	
	329 V	st.	m.gr.		630 V	m.sv.	gr.	
	340 V	st.	m.gr.		652 V	sv.	ca.6m	
	378 V	m.sv.	m.gr.		714 V	sv.	ca.4m	
	580 V	sv.	m.gr.	13500 N	270 V	m.sv.	m.gr.	
	598 V	m.sv.	m.gr.		289 V	st.	ca.4m	
	633 V	m.sv.	gr.		319 V	sv.	m.gr.	
	656 V	m.sv.	gr.		336 V	m.sv.	gr.	
	675 V	m.sv.	gr.		345 V	m.sv.	gr.	
	740 V	m.sv.	gr.		356 V	m.sv.	gr.	
	790 V	m.sv.	gr.		373 V	m.sv.	gr.	
	13200 N	300 V	m.sv.		gr.	687 V	sv.	ca.11m
325 V		st.	m.gr.		740 V	m.sv.	gr.	
338 V		st.	m.gr.		852 V	m.sv.	gr.	
356 V		m.sv.	m.gr.	13550 N	252 V	m.sv.	gr.	
606 V		sv.	ca.3m		282 V	m.sv.	m.gr.	
615 V		m.sv.	ca.3m		291 V	st.	m.gr.	
643 V		m.sv.	gr.		309 V	sv.	m.gr.	
662 V		m.sv.	gr.		330 V	m.sv.	gr.	
674 V		m.sv.	gr.		380 V	m.sv.	gr.	
698 V		m.sv.	gr.		662 V	m.sv.	gr.	
13250 N		321 V	st.		m.gr.	712 V	m.sv.	gr.
		340 V	st.		m.gr.	843 V	m.sv.	gr.
	402 V	m.sv.	gr.		13600 N	295 V	st.	ca.4m
	452 V	m.sv.	gr.	300 V		st.	m.gr.	
	505 V	m.sv.	gr.	328 V		sv.	m.gr.	
	630 V	sv.	m.gr.	368 V		m.sv.	gr.	
	698 V	m.sv.	gr.	407 V		m.sv.	gr.	
	727 V	m.sv.	gr.	640 V		m.sv.	gr.	
13300 N	300 V	m.sv.	gr.	710 V		m.sv.	gr.	
	315 V	st.	m.gr.	833 V		m.sv.	gr.	
	342 V	st.	m.gr.	863 V	m.sv.	gr.		
	490 V	m.sv.	gr.	13650 N	242 V	m.sv.	m.gr.	
	646 V	sv.	ca.8m		262 V	m.sv.	m.gr.	
	715 V	m.sv.	gr.		282 V	st.	ca.2m	
	770 V	m.sv.	gr.		293 V	st.	m.gr.	
	13350 N	318 V	st.		m.gr.	310 V	sv.	m.gr.
343 V		sv.	m.gr.		332 V	m.sv.	gr.	
378 V		m.sv.	gr.		346 V	m.sv.	gr.	
408 V		m.sv.	gr.		363 V	m.sv.	gr.	
512 V		m.sv.	gr.	857 V	m.sv.	gr.		
710 V		m.sv.	gr.	13700 N	257 V	st.	ca.3m	
762 V		sv.	gr.		273 V	st.	ca.3m	
13400 N		293 V	m.sv.		ca.2m	297 V	sv.	m.gr.
	315 V	st.	m.gr.		310 V	m.sv.	gr.	
	388 V	sv.	m.gr.		328 V	m.sv.	gr.	
	350 V	sv.	m.gr.		358 V	m.sv.	gr.	
	370 V	m.sv.	gr.		740 V	m.sv.	gr.	
	393 V	m.sv.	gr.		866 V	m.sv.	gr.	
	683 V	sv.	m.gr.	13750 N	252 V	st.	ca.3m	
	705 V	m.sv.	gr.		277 V	st.	m.gr.	
760 V	m.sv.	gr.	307 V		sv.	m.gr.		
13450 N	297 V	st.	ca.8m		334 V	m.sv.	gr.	
	335 V	sv.	m.gr.		366 V	m.sv.	gr.	
	350 V	m.sv.	m.gr.		391 V	m.sv.	m.gr.	

Tabell 6. Forts.

Profil	Stasjon	Styrke	Dybde	Profil	Stasjon	Styrke	Dybde
13750 N	740 V	m. sv.	gr.	13950 N	317 V	st.	m. gr.
	881 V	m. sv.	gr.		344 V	m. sv.	gr.
13800 N	255 V	st.	m. gr.	14000 N	290 V	st.	m. gr.
	274 V	sv.	m. gr.		309 V	st.	ca. 3m
	283 V	sv.	m. gr.		317 V	sv.	ca. 3m
	295 V	sv.	m. gr.		330 V	sv.	m. gr.
	307 V	m. sv.	gr.		536 V	m. sv.	gr.
	324 V	sv.	gr.		950 V	m. sv.	gr.
	855 V	m. sv.	gr.		1004 V	m. sv.	gr.
	902 V	m. sv.	gr.		14050 N	283 V	st.
13850 N	253 V	st.	ca. 4m	314 V		st.	m. gr.
	274 V	sv.	ca. 4m	325 V		st.	m. gr.
	293 V	st.	ca. 3m	356 V	m. sv.	gr.	
	310 V	sv.	m. gr.	396 V	m. sv.	gr.	
	334 V	m. sv.	gr.	561 V	m. sv.	gr.	
13900 N	344 V	m. sv.	gr.	14100 N	247 V	m. sv.	gr.
	254 V	st.	m. gr.		285 V	m. sv.	m. gr.
	273 V	st.	m. gr.		320 V	st.	ca. 3m
	290 V	st.	m. gr.		392 V	m. sv.	gr.
	313 V	sv.	m. gr.		547 V	sv.	gr.
	336 V	m. sv.	m. gr.		976 V	m. sv.	gr.
13950 N	914 V	m. sv.	gr.	1009 V	m. sv.	gr.	
	288 V	st.	ca. 3m	1051 V	m. sv.	gr.	
	303 V	st.	m. gr.	1095 V	m. sv.	gr.	

Tabell 7. Observerte indikasjoner. (Kart nr.7)

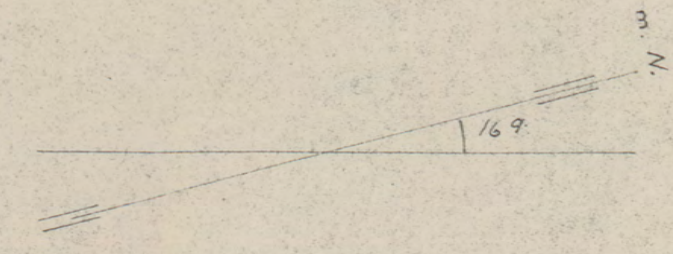
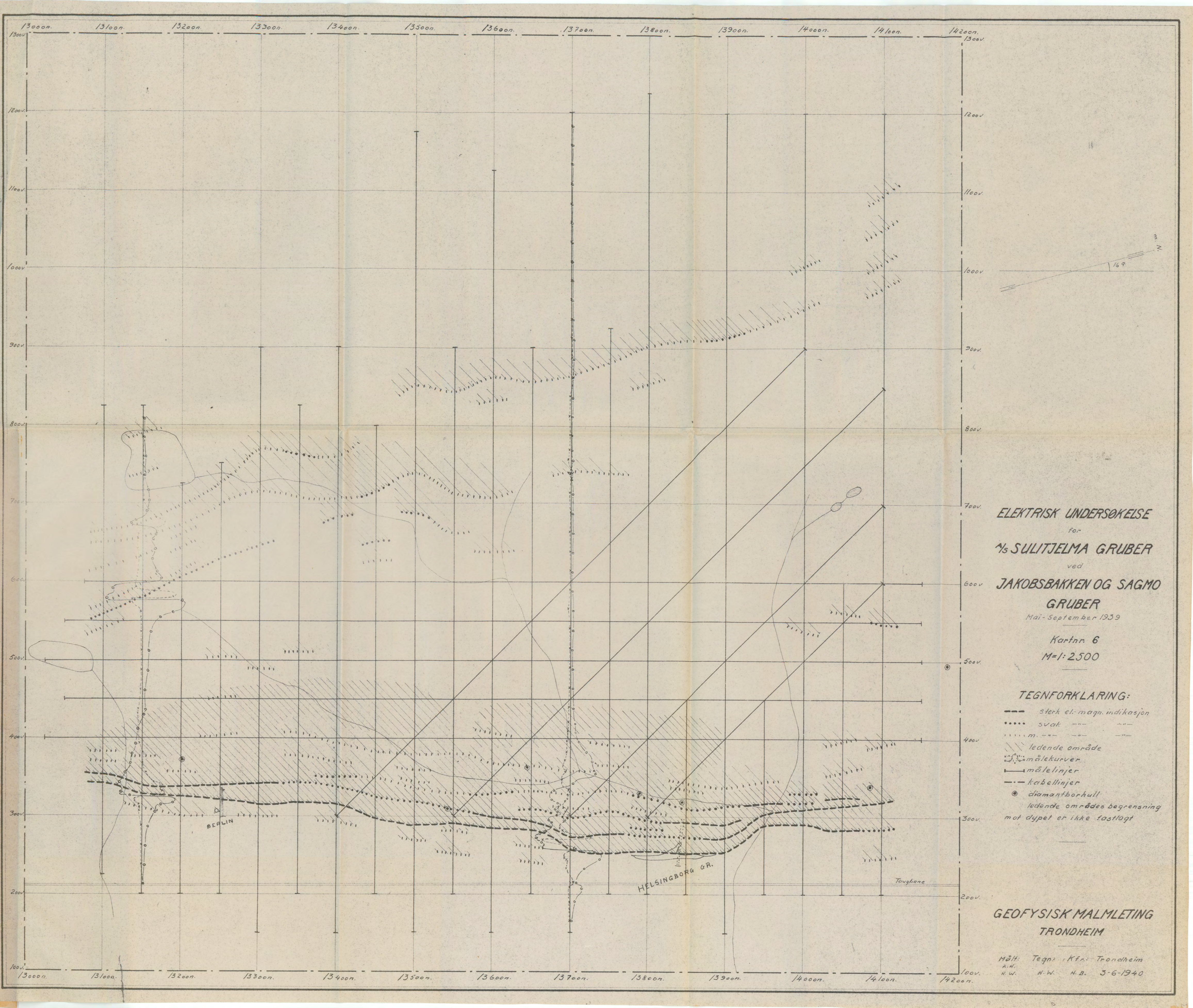
Profil	Stasjon	Styrke	Dybde	Profil	Stasjon	Styrke	Dybde
14200 N	369 V	st.	ca.4m	14600 N	463 V	st.	ca.7m
	415 V	m.sv.	m.gr.		498 V	st.	ca.5m
	453 V	m.sv.	m.gr.		525 V	m.sv.	ca.9m
	496 V	m.sv.	m.gr.		555 V	m.sv.	gr.
	522 V	m.sv.	gr.		573 V	m.sv.	gr.
	541 V	m.sv.	gr.		597 V	st.	m.gr.
	1031 V	m.sv.	gr.		639 V	m.sv.	ca.5m
14300 N	355 V	m.sv.	m.gr.	1111 V	sv.	ca.15m	
	366 V	m.sv.	m.gr.	1145 V	m.sv.	gr.	
	398 V	m.sv.	m.gr.	1181 V	m.sv.	gr.	
	415 V	m.sv.	gr.	14650 N	463 V	st.	ca.5m
	465 V	st.	gr.		487 V	m.sv.	m.gr.
	506 V	st.	m.gr.	497 V	m.sv.	m.gr.	
	529 V	sv.	ca.5m	510 V	m.sv.	m.gr.	
	1043 V	m.sv.	gr.	14700 N	451 V	st.	ca.4m
	1057 V	m.sv.	gr.		507 V	m.sv.	m.gr.
	1068 V	m.sv.	gr.		529 V	m.sv.	m.gr.
14400 N	433 V	m.sv.	m.gr.		596 V	st.	m.gr.
	463 V	m.sv.	m.gr.		623 V	m.sv.	ca.4m
	488 V	st.	m.gr.		647 V	m.sv.	gr.
	516 V	sv.	ca.3m		660 V	m.sv.	gr.
	542 V	m.sv.	gr.	699 V	m.sv.	gr.	
	573 V	m.sv.	gr.	734 V	m.sv.	gr.	
	930 V	m.sv.	gr.	998 V	sv.	gr.	
	1047 V	m.sv.	m.gr.	1018 V	m.sv.	gr.	
	1066 V	sv.	m.gr.	1149 V	sv.	gr.	
	1085 V	sv.	m.gr.	1178 V	m.sv.	gr.	
1126 V	m.sv.	gr.	14800 N	480 V	st.	m.gr.	
14450 N	505 V	st.		m.gr.	503 V	m.sv.	m.gr.
	534 V	sv.		m.gr.	533 V	m.sv.	m.gr.
	552 V	sv.		m.gr.	605 V	sv.	m.gr.
14500 N	423 V	st.		ca.7m	620 V	m.sv.	gr.
	451 V	m.sv.		m.gr.	655 V	m.sv.	gr.
	530 V	st.		m.gr.	698 V	m.sv.	gr.
	561 V	m.sv.	m.gr.	729 V	m.sv.	gr.	
	579 V	sv.	gr.	765 V	m.sv.	gr.	
	885 V	m.sv.	gr.	802 V	m.sv.	gr.	
	933 V	m.sv.	gr.	14900 N	1072 V	m.sv.	gr.
	952 V	m.sv.	gr.		541 V	st.	ca.5m
	1000 V	sv.	ca.4m		572 V	m.sv.	m.gr.
	1038 V	sv.	ca.5m		613 V	sv.	m.gr.
1078 V	m.sv.	gr.	625 V		m.sv.	m.gr.	
1100 V	m.sv.	ca.5m	645 V		m.sv.	m.gr.	
1137 V	m.sv.	gr.	680 V		m.sv.	gr.	
14550 N	455 V	st.	ca.6m	701 V	m.sv.	gr.	
	484 V	sv.	ca.6m	730 V	m.sv.	gr.	
	530 V	m.sv.	m.gr.	758 V	m.sv.	gr.	
	555 V	m.sv.	m.gr.	1210 V	m.sv.	gr.	
	587 V	st.	m.gr.	1286 V	m.sv.	gr.	
	615 V	m.sv.	gr.	15000 N	582 V	sv.	m.gr.
	644 V	m.sv.	gr.		612 V	m.sv.	m.gr.
	692 V	m.sv.	gr.		677 V	sv.	m.gr.



Tabell 7. Forts.

Profil	Stasjon	Styrke	Dybde	Profil	Stasjon	Styrke	Dybde
15000 N	719 V	sv.	gr.	15100 N	687 V	m.sv.	ca. 3m
	760 V	m.sv.	ca. 7m		739 V	sv.	gr.
	1274mV	m.sv.	gr.		765 V	m.sv.	gr.
15100 N	591 V	sv.	m.gr.	814 V	m.sv.	gr.	
	608 V	m.sv.	m.gr.	962 V	m.sv.	gr.	
	664 V	sv.	ca. 5m	1194 V	sv.	gr.	





**ELEKTRISK UNDERSØKELSE**  
 for  
**MS SULITJELMA GRUBER**  
 ved  
**JAKOBSBAKKEN OG SAGMO**  
**GRUBER**  
 Mai-September 1939  
 Kartnr. 6  
 M=1:2500

- TEGNFORKLARING:**
- sterk el. magn. indikasjon
  - .... svak " " "
  - ||||| m. " " "
  - /// ledende område
  - ~ ~ ~ målekurver
  - — — målelinjer
  - - - kabellinjer
  - diamantborhull
  - ledende områdes begrensnng mot dypet er ikke fastlagt

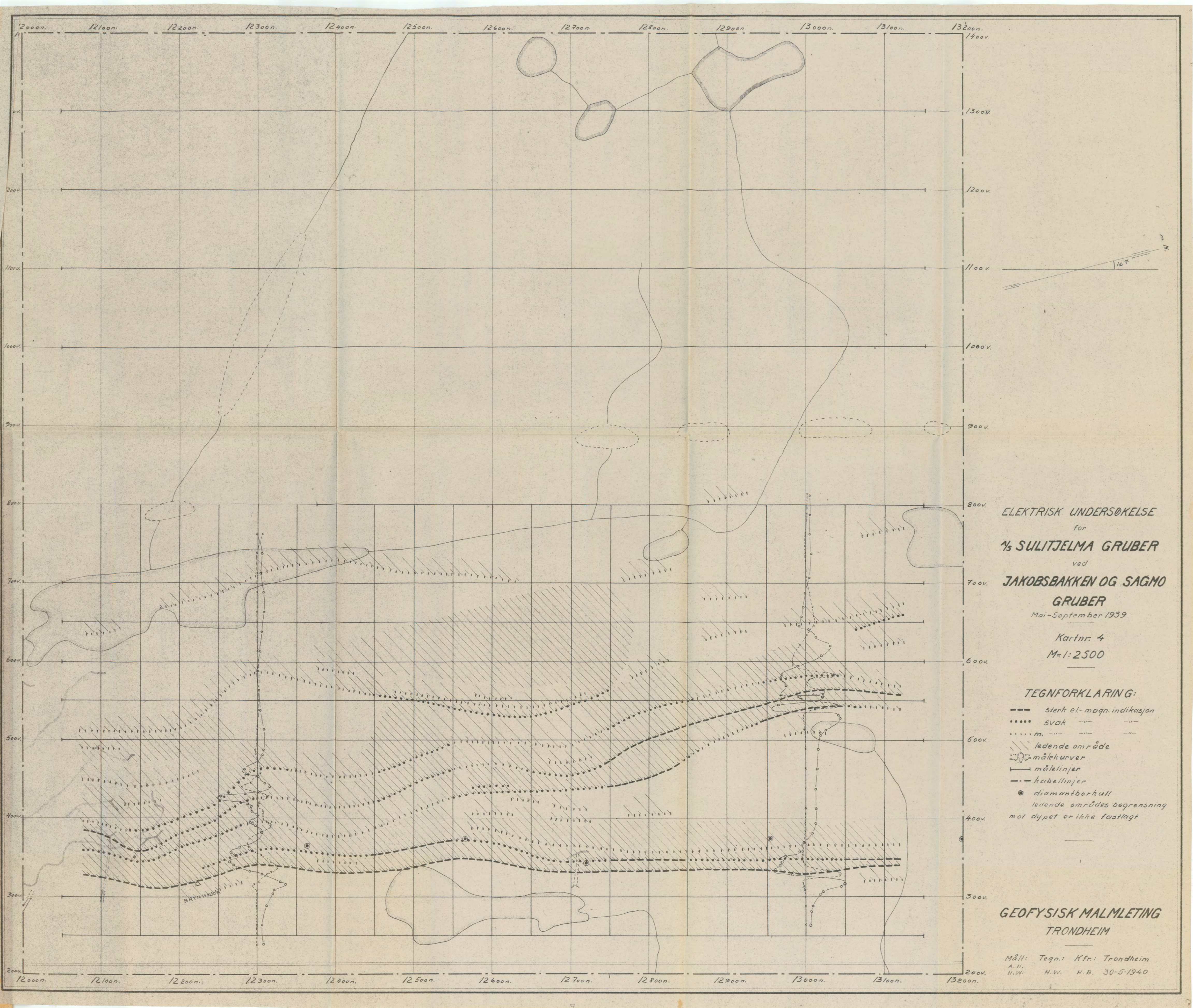
**GEOFYSISK MALMLETING**  
**TRONDHEIM**

Målt: Tegn: Kfn: Trondheim  
 A.W. H.W. H.B. 3-6-1940









ELEKTRISK UNDERSØKELSE  
 for  
**1/2 SULITJELMA GRUBER**  
 ved  
**JAKOBSBAKKEN OG SAGMO  
 GRUBER**  
 Mai-September 1939

Kartnr. 4  
 M=1:2500

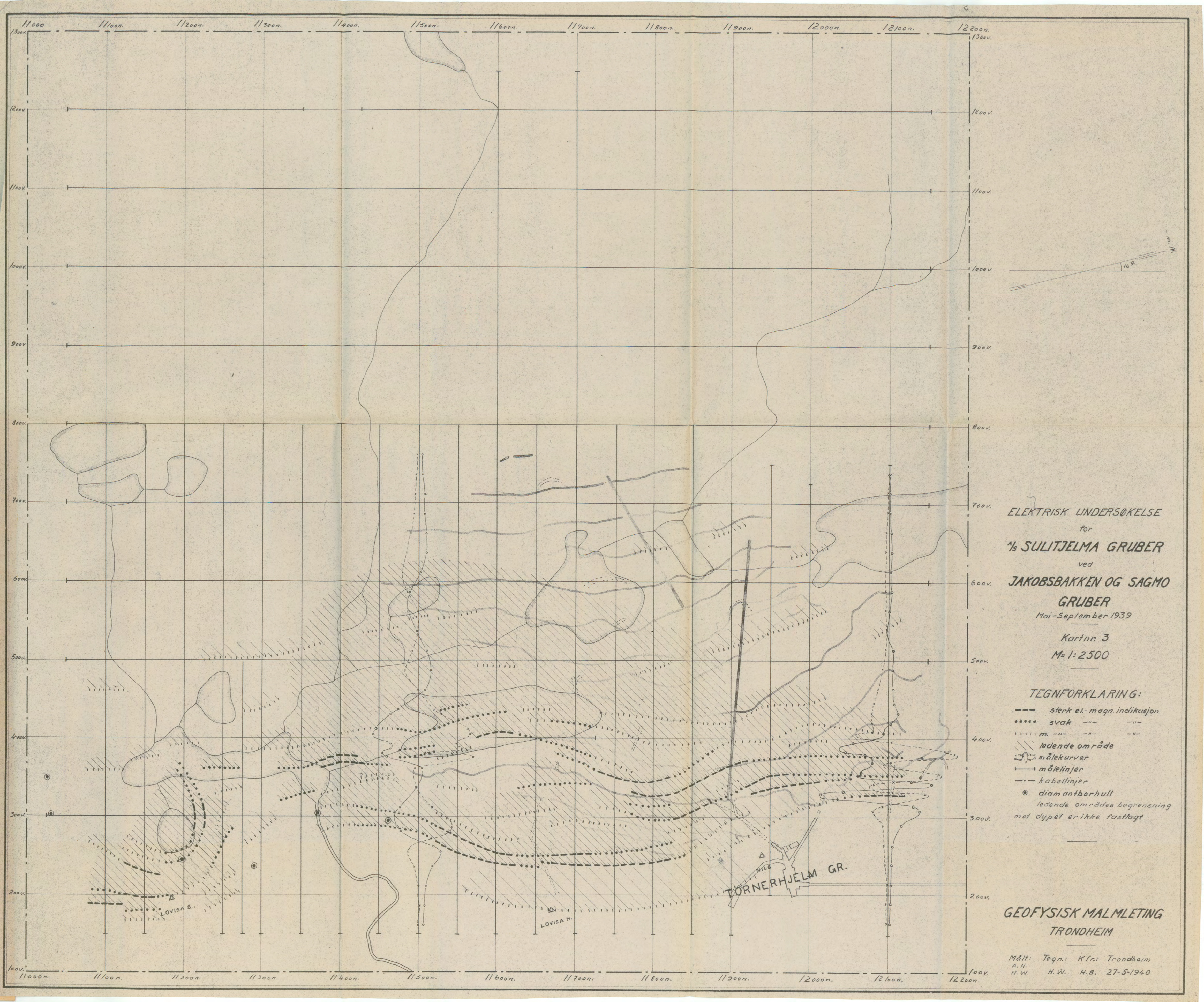
TEGNFORKLARING:

- sterk el.-magn. indikasjon
- .... svak " " "
- ..... m. " " "
- /// ledende område
- målekurver
- målelinjer
- kabellinjer
- diamantborkull
- ledende områdes begrensnng mot dypt er ikke fastlagt

**GEOFYSISK MALMLETING  
 TRONDHEIM**

Målt: Tegn: Kfr: Trondheim  
 A.H. H.W. H.B. 30-5-1940





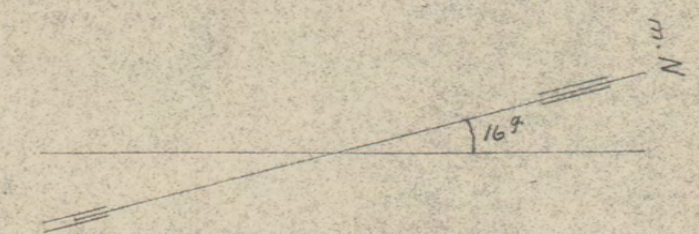
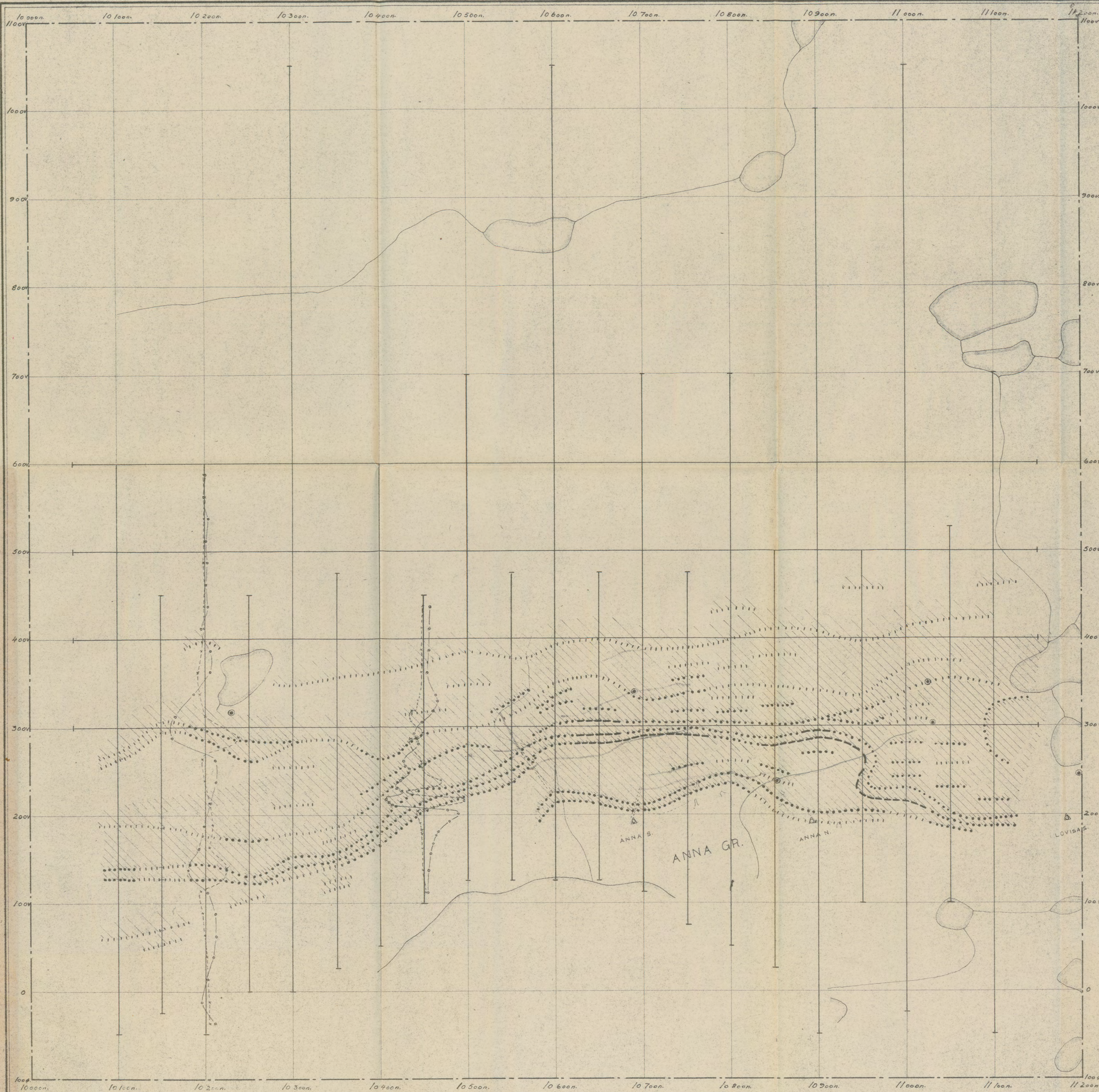
ELEKTRISK UNDERSØKELSE  
 for  
 1/2 SULITJELMA GRUBER  
 ved  
 JAKOBSBAKKEN OG SAGMO  
 GRUBER  
 Mai-September 1939  
 Kartnr. 3  
 M=1:2500

TEGNFORKLARING:  
 - - - sterk el.-magn. indikasjon  
 ..... svak " "  
 - - - m. " "  
 / / / / ledende område  
 ~~~~~ målekurver  
 ——— målelinjer  
 - - - kabellinjer  
 ● diamantborhull  
 ledende områdes begrensnig  
 mot dyppet er ikke fastlagt

GEOFYSISK MALMLETING  
 TRONDHEIM

Målt: A.H. H.W. Tegn: H.W. Kfr.: H.B. Trondheim  
 27-5-1940





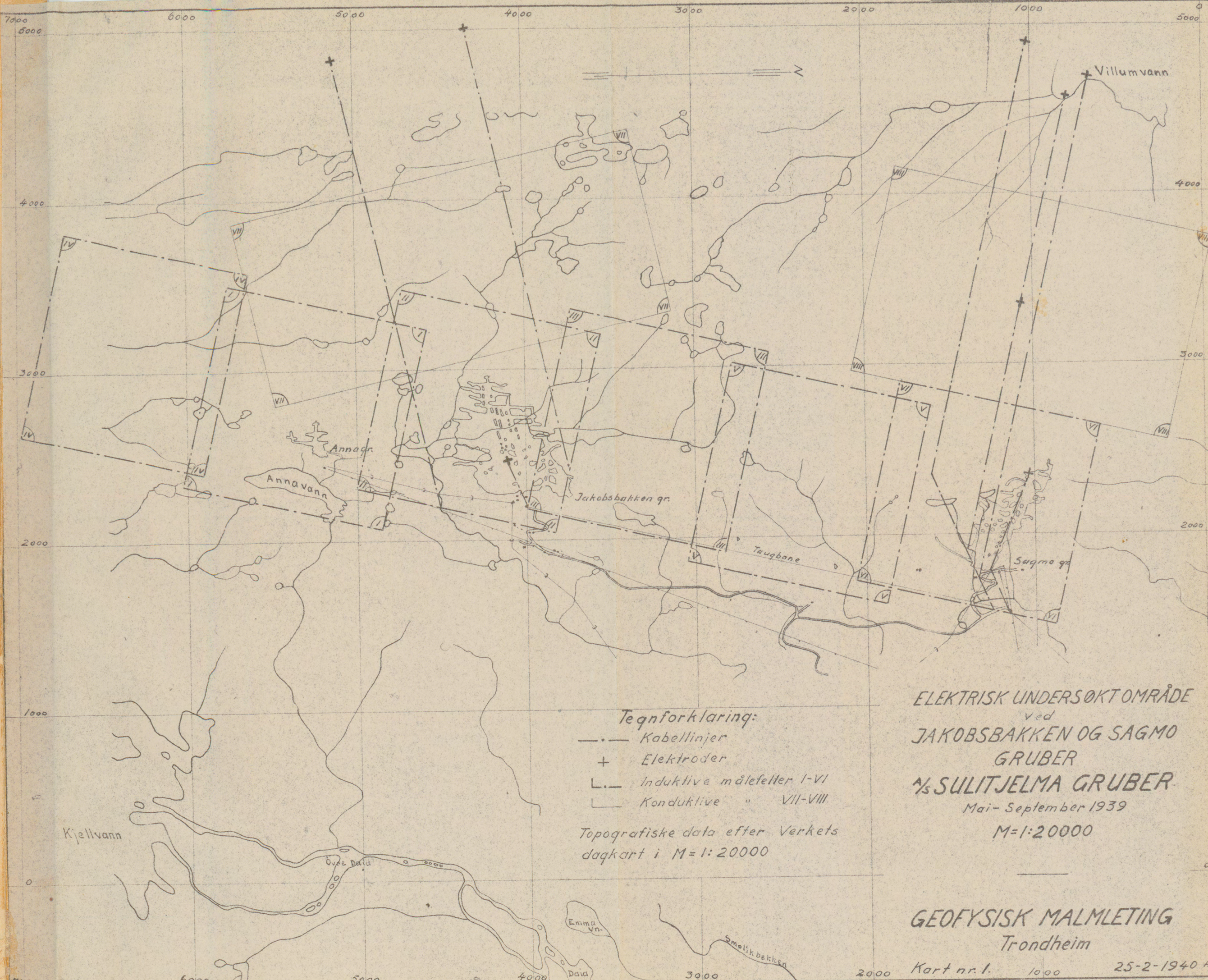
ELEKTRISK UNDERSØKELSE  
 for  
 1/5 SULITJELMA GRUBER  
 ved  
 JAKOBSBAKKEN OG SAGMO  
 GRUBER  
 Mai-September 1939  
 Kartnr. 2  
 M=1:2500

- TEGNFORKLARING:
- sterk el.-magn. indikasjon
  - ..... svak " " "
  - ||||| m. " " "
  - /// ledende område
  - ~ m. l. kurver
  - m. l. linjer
  - kabellinjer
  - diamantborhull
  - ledende områdes begrenning mot dypet er ikke fastlagt

GEOFYSISK MALMLETING  
 TRONDHEIM

Mål: Tegn: Kfn: Trondheim  
 A.H. H.W. H.B. 23-5-1940





Tegnforklaring:

- Kabellinjer
- + Elektroder
- L— Induktive målefelter I-VI
- Konduktive " VII-VIII

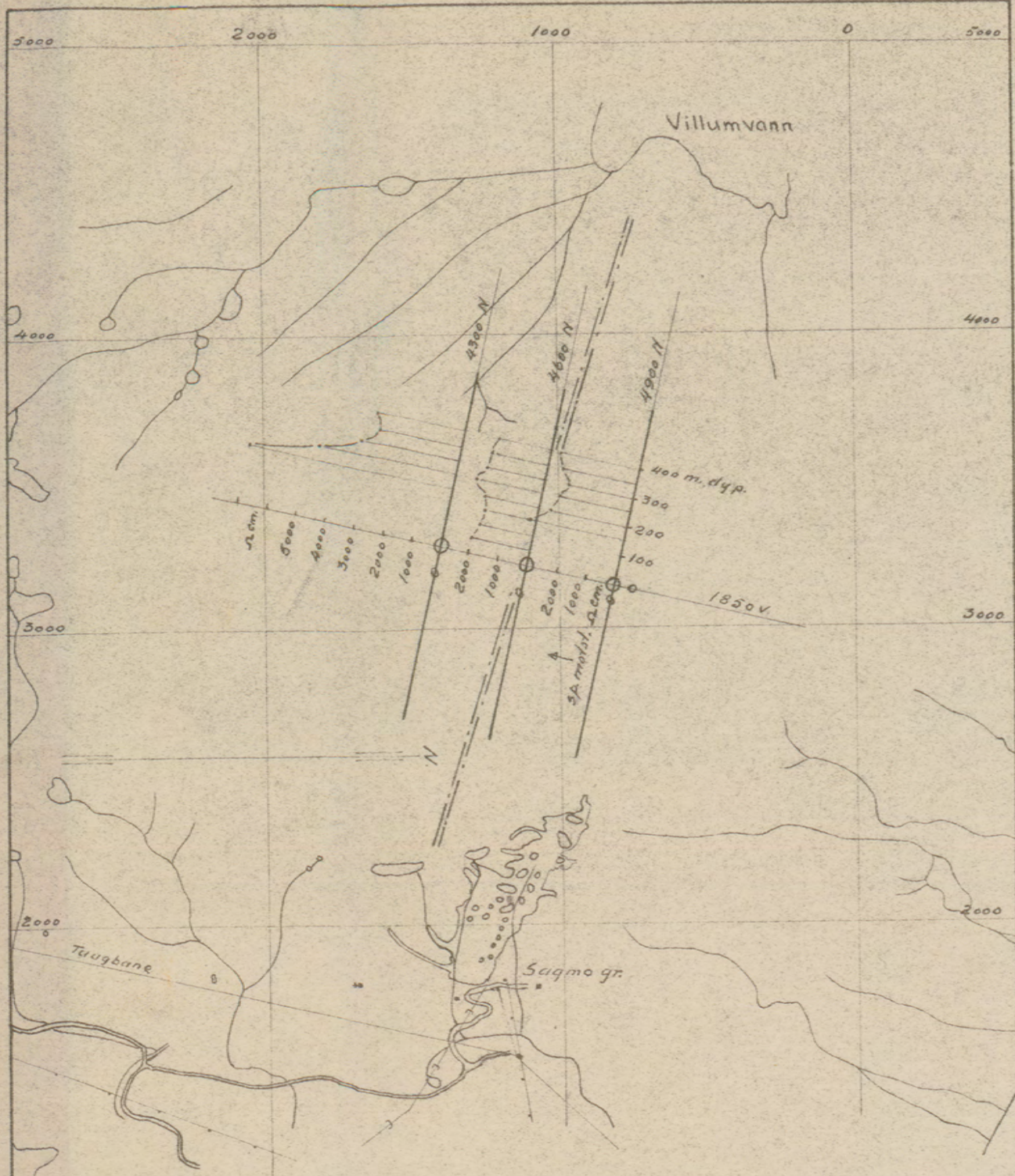
Topografiske data efter Verkets dagkart i M=1:20000

ELEKTRISK UNDERSØKT OMRÅDE  
 ved  
 JAKOBSBAKKEN OG SAGMO  
 GRUBER  
 N/S SULITJELMA GRUBER  
 Mai-September 1939  
 M=1:20000

GEOFYSISK MALMLETING  
 Trondheim

Kart nr. 1. 1000 25-2-1940 H.W.





ELEKTRISK UNDERSØKELSE  
 JAKOBSBAKKEN OG SAGMO GR.

FOR

$\frac{1}{3}$  SULITJELMA GRUBER

Mai-September 1939

Kart nr. 8 M=1:20000

Motstandsmålinger Sagmo Gr.

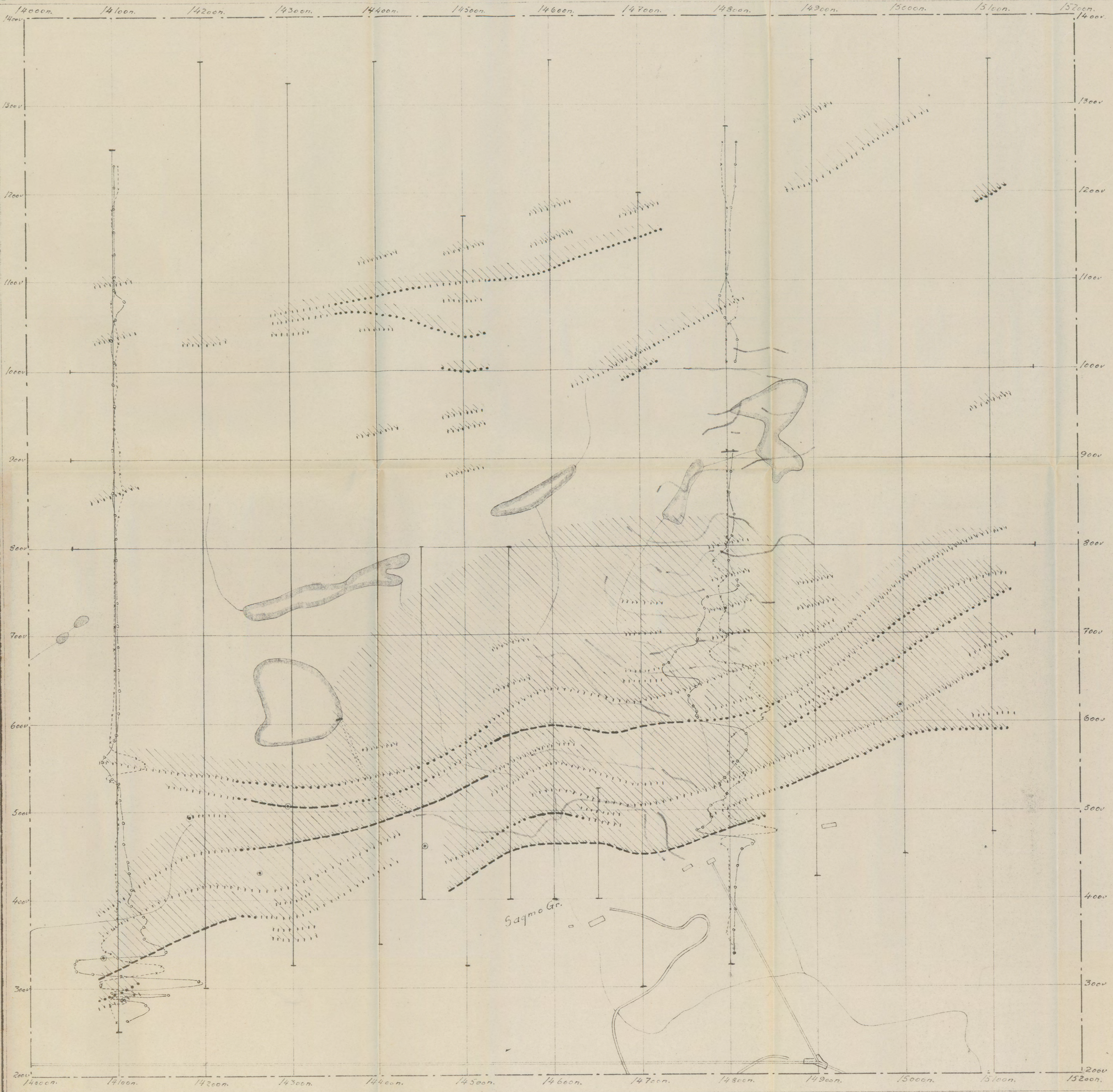
Tegnforklaring:

- Målelinjer
- Elektrodemidtpunkt
- Vertikal motstandskurve
- ==== Sprekksystem

GEOFYSISK MALMLETING  
 Trondheim

20-7-1940.H.W.





**ELEKTRISK UNDERSØKELSE**  
 for  
**1/3 SULITJELMA GRUBER**  
 ved  
**JAKOBSBAKKEN OG SAGMO**  
**GRUBER**  
 Mai-September 1939  
 Kart nr: 7  
 M=1:2500

**TEGNFORKLARING:**  
 --- sterk el.-magn. induksjon  
 ..... svak " "  
 ||||| m. " "  
 // ledende område  
 ~~~~~ samlekurver  
 ————— målelinjer  
 - - - kabellinjer  
 ● diamantber hull  
 ledende områdes begrenning  
 mot dypet er ikke fastlagt

**GEOFYSISK MALMLETING**  
**TRONDHEIM**

M&H: Tegn: Kfn: Trondheim  
 A.W. H.W. H.B. 6-6-1940